

# Computergrafik

Computergrafik

## Übung: Clipping & Bildoperationen

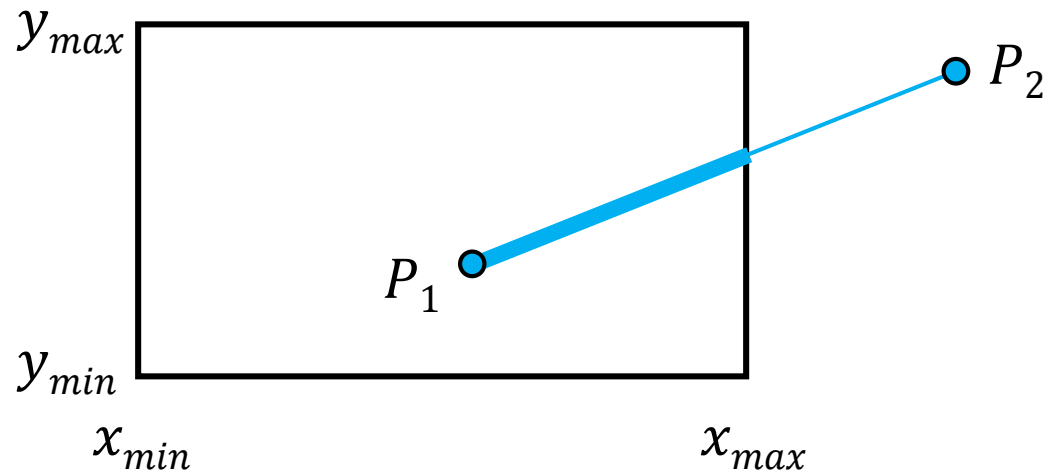
Prof. Dr.-Ing. Carsten Dachsbacher  
Lehrstuhl für Computergrafik  
Karlsruher Institut für Technologie



- ▶ Clipping: Abschneiden von Linien/Polygon-Teilen, die außerhalb des interessanten Bereichs liegen
  
- ▶ Effizient: zeichne nichts außerhalb des Bildschirms/View Frustums, keine Objekte hinter der Kamera (in 3D)
  
  
  
  
  
  
  
  
  
  
- ▶ Clipping von Linien
  - ▶ Cohen-Sutherland und  $\alpha$ -Clipping
- ▶ Clipping von Polygonen
  - ▶ Sutherland-Hodgeman

# Clipping von Linien

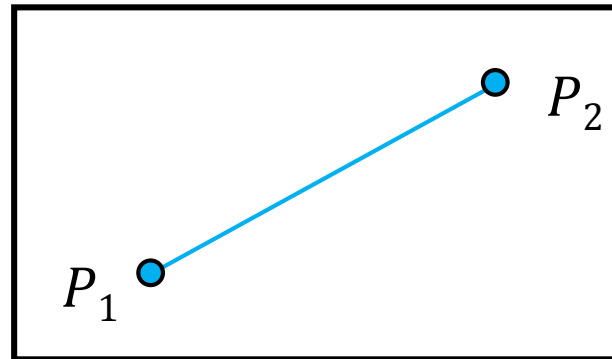
- ▶ gegeben
  - ▶ eine 2D Linie von  $P_1 = (x_1, y_1)$  nach  $P_2 = (x_2, y_2)$
  - ▶ ein Rechteck definiert durch  $(x_{min}, x_{max}, y_{min}, y_{max})$
- ▶ bestimme den Teil der Linie innerhalb des Rechtecks.



# Clipping Algorithmus von Cohen-Sutherland

## Clipping von Linien gegen Rechtecke

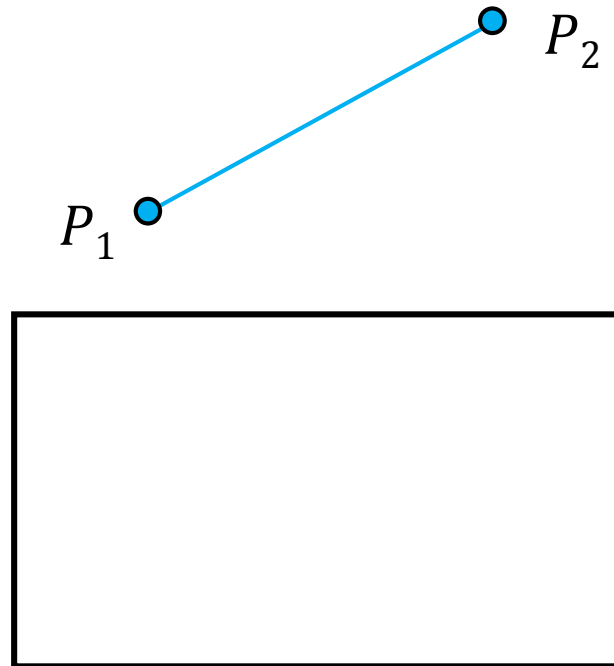
▶ Einfacher Fall: **trivial accept**



# Clipping Algorithmus von Cohen-Sutherland

## Clipping von Linien gegen Rechtecke

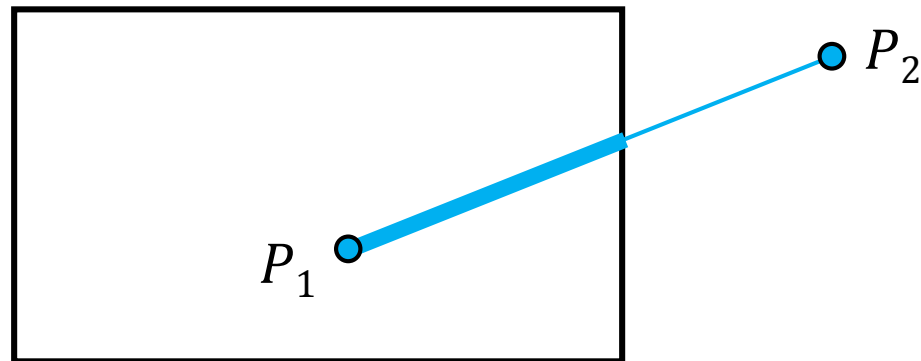
▶ Noch ein einfacher Fall: **trivial reject**



# Clipping Algorithmus von Cohen-Sutherland

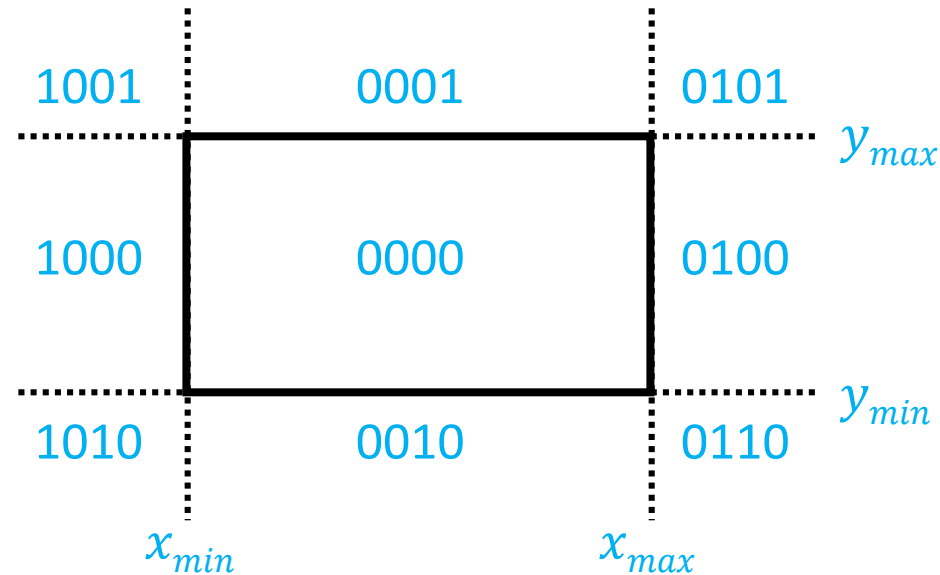
## Clipping von Linien gegen Rechtecke

▶ Ansonsten: Unterteile das Liniensegment



# Clipping Algorithmus von Cohen-Sutherland

- ▶ unterteile die Ebene in 9 Bereiche

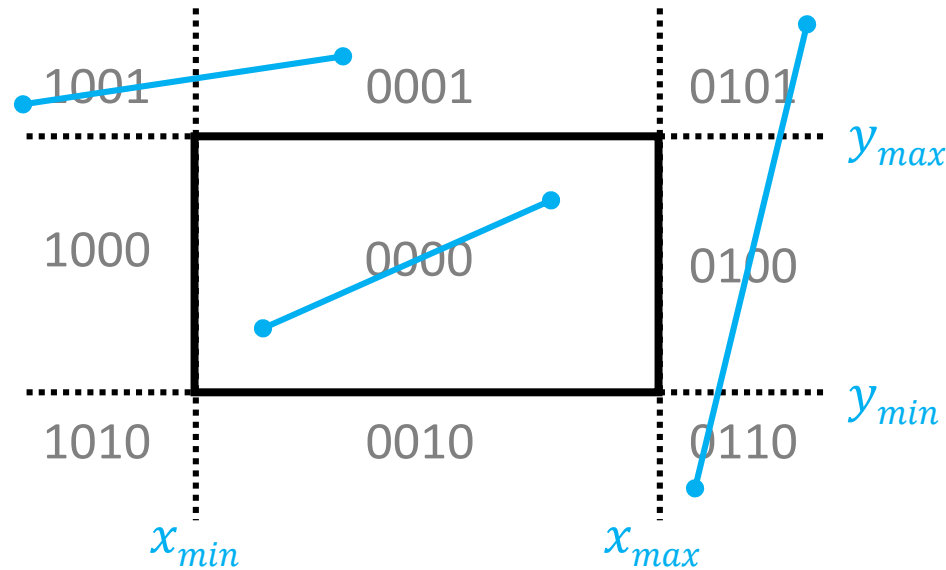


- ▶ „Outcode“ = 

$x < x_{min}$	$x > x_{max}$	$y < y_{min}$	$y > y_{max}$
---------------	---------------	---------------	---------------
- ▶ jedes Bit entspricht einer Kante des Clipping Rechtecks
- ▶ Bit gesetzt  $\leftrightarrow$  Punkt liegt ausserhalb bzgl. dieser Kante

# Clipping Algorithmus von Cohen-Sutherland

## Algorithmus zum Clipping von Linien



### ▶ trivial accept

Beide Punkte innen  $\Leftrightarrow \text{Outcode}(P_1) \vee \text{Outcode}(P_2) == 0$

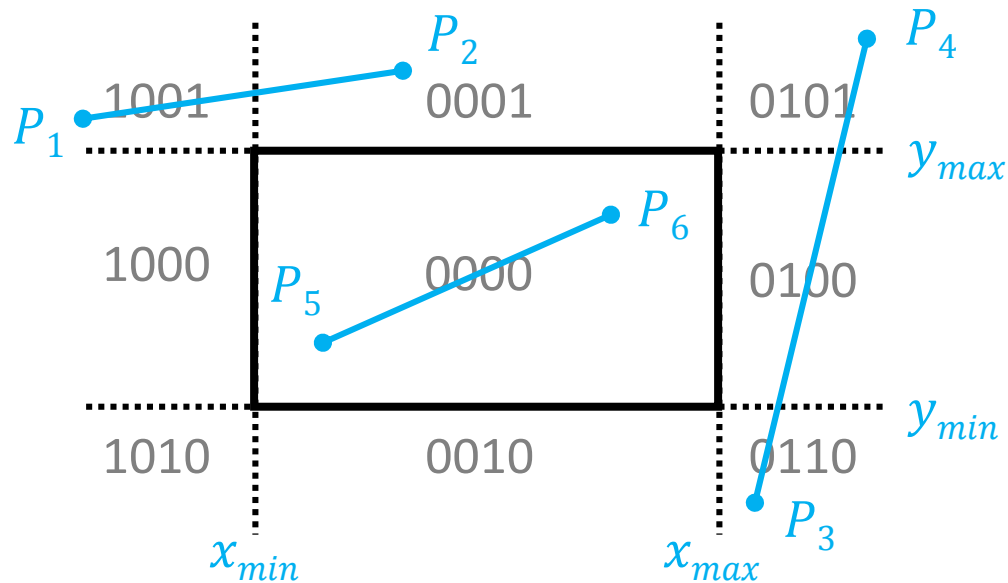
### ▶ trivial reject

Beide Punkte außen bzgl. derselben Kante  $\Leftrightarrow \text{Outcode}(P_1) \wedge \text{Outcode}(P_2) \neq 0$

# Clipping Algorithmus von Cohen-Sutherland

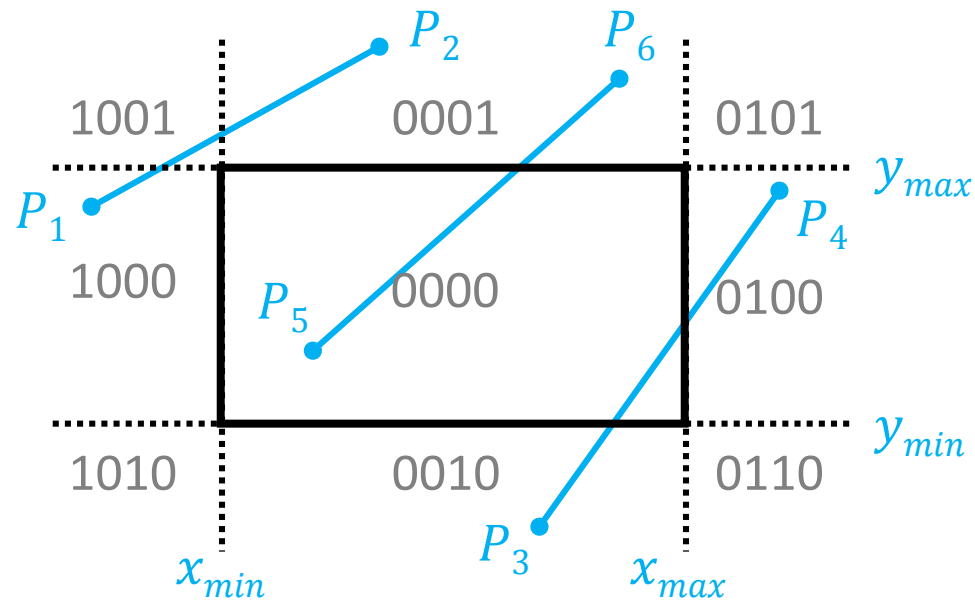
## Beispiele

- ▶ Outcode ( $P_1$ )  $\wedge$  Outcode ( $P_2$ ) = 0001  $\neq$  0  $\Rightarrow$  trivial reject
- ▶ Outcode ( $P_5$ )  $\vee$  Outcode ( $P_6$ ) = 0000  $\Rightarrow$  0  $\Rightarrow$  trivial accept
- ▶ Outcode ( $P_3$ )  $\wedge$  Outcode ( $P_4$ ) = 0100  $\neq$  0  $\Rightarrow$  trivial reject



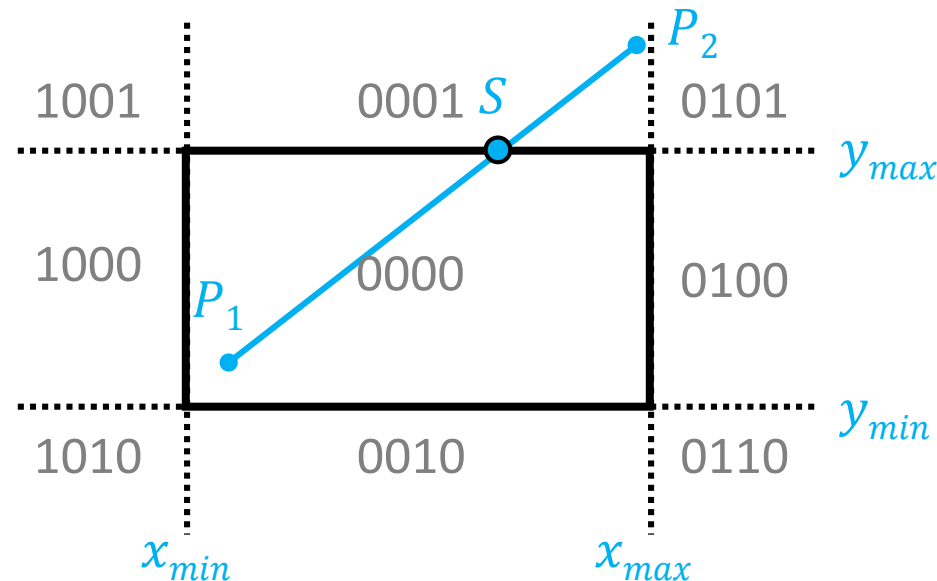
# Clipping Algorithmus von Cohen-Sutherland

## ► Nicht-triviale Fälle



## Algorithmus zum Clipping von Linien *cont.*

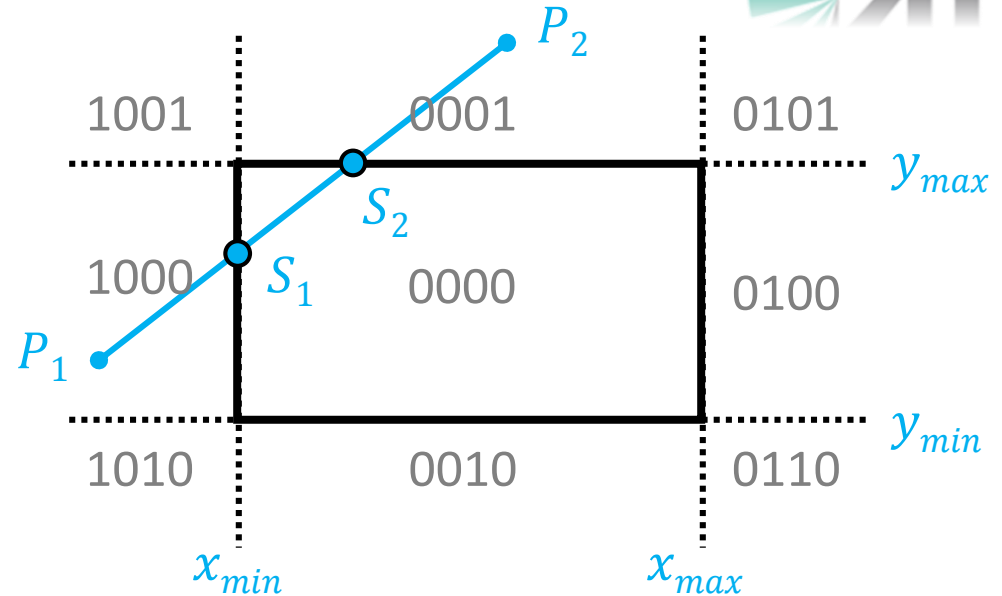
- ▶ Es gibt mindestens eine Kante, für die das Bit in in  $\text{Outcode}(P_1)$  gesetzt und in  $\text{Outcode}(P_2)$  nicht gesetzt ist (oder umgekehrt)
- ▶ die Linie  $P_1P_2$  schneidet diese Kante
  - ▶ berechne den Schnittpunkt  $S$
  - ▶ wenn  $P_1$  außerhalb bzgl. dieser Kante liegt → verfare weiter mit  $SP_2$ , sonst mit  $P_1S$



# Clipping Algorithmus von Cohen-Sutherland

## Beispiel

- ▶ Outcode ( $P_1$ ) = 1000
- ▶ Outcode ( $P_2$ ) = 0001
  
- ▶ Outcode ( $S_1$ ) = 0000
- ▶ Outcode ( $S_2$ ) = 0000



Outcode ( $P_1$ ) $\vee$ Outcode ( $P_2$ ) $\neq 0$	$\Rightarrow$ kein trivial accept	
Outcode ( $P_1$ ) $\wedge$ Outcode ( $P_2$ ) $== 0$	$\Rightarrow$ kein trivial reject	
Outcode ( $P_1$ ) "left"-Bit gesetzt	$\Rightarrow$ berechne $S_1$	$\Rightarrow$ weiter mit $S_1P_2$
Outcode ( $S_1$ ) $\vee$ Outcode ( $P_2$ ) $\neq 0$	$\Rightarrow$ kein trivial accept	
Outcode ( $S_1$ ) $\wedge$ Outcode ( $P_2$ ) $== 0$	$\Rightarrow$ kein trivial reject	
Outcode ( $P_2$ ) "top"-Bit gesetzt	$\Rightarrow$ berechne $S_2$	$\Rightarrow$ weiter mit $S_1S_2$
Outcode ( $S_1$ ) $\vee$ Outcode ( $S_2$ ) $== 0$	$\Rightarrow$ trivial accept ( $S_1, S_2$ )	

# Clipping optimieren

## $\alpha$ -Clipping (nach Cyrus-Beck '78, Liang-Barsky '87)

- ▶ Optimierung mittels **Window Edge Coordinates** (WEC)
  - ▶  $WEC_E(P) < 0 \iff P$  liegt außerhalb bzgl. der Kante  $E$ 
    - ▶  $WEC_{left}(P) = p_x - x_{min}$
    - ▶  $WEC_{right}(P) = x_{max} - p_x$
    - ▶  $WEC_{bottom}(P) = p_y - y_{min}$
    - ▶  $WEC_{top}(P) = y_{max} - p_y$
  
- ▶ Das entsprechende Outcode-Bit ist gesetzt, wenn dazugehörige WEC negativ ist



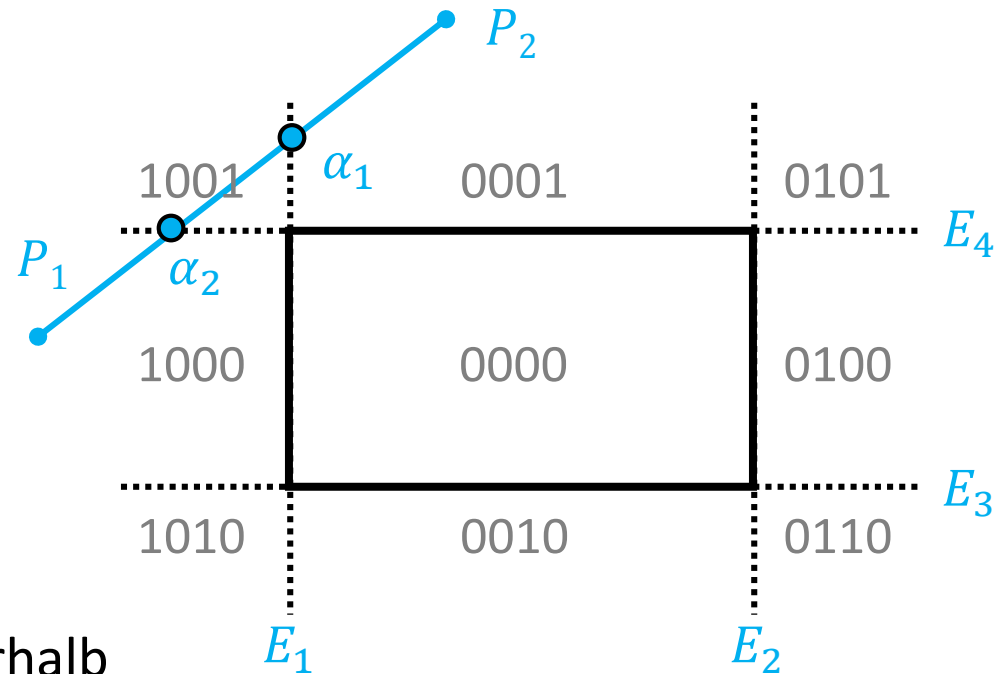
## Algorithmus

- ▶ berechne WECs von  $P_1$  und  $P_2$
- ▶ bestimme Outcodes anhand des Vorzeichens der WECs
- ▶ teste auf trivial accept/trivial reject (wie bei Cohen-Sutherland)
- ▶ ansonsten verfare so:
  - ▶ setze  $\alpha_{min} = 0, \alpha_{max} = 1$
  - ▶ für jede Kante  $E$  für die das „Outcode<sub>E</sub>“-Bit für  $P_1$  oder  $P_2$  gesetzt ist
    - ▶ berechne  $\alpha_s = \frac{WEC_E(P_1)}{WEC_E(P_1) - WEC_E(P_2)}$
    - ▶ wenn Outcode<sub>E</sub>( $P_1$ )
      - ▶ dann  $\alpha_{min} = \max(\alpha_{min}, \alpha_s)$
      - ▶ sonst  $\alpha_{max} = \min(\alpha_{max}, \alpha_s)$
    - ▶ wenn  $\alpha_{min} > \alpha_{max}$ , dann liegt die Linie außerhalb
  - ▶ geclipptes Liniensegment  $(P_1 + \alpha_{min}(P_2 - P_1), P_1 + \alpha_{max}(P_2 - P_1))$

# $\alpha$ -Clipping

## Beispiel 1

- ▶ berechne WECs für  $P_1$  und  $P_2$  bzgl.  $E_1, E_2, E_3, E_4$
- ▶ bestimme Outcodes
  - ▶ Outcode( $P_1$ ) = 1000
  - ▶ Outcode( $P_2$ ) = 0001
- ▶ kein trivial accept/trivial reject

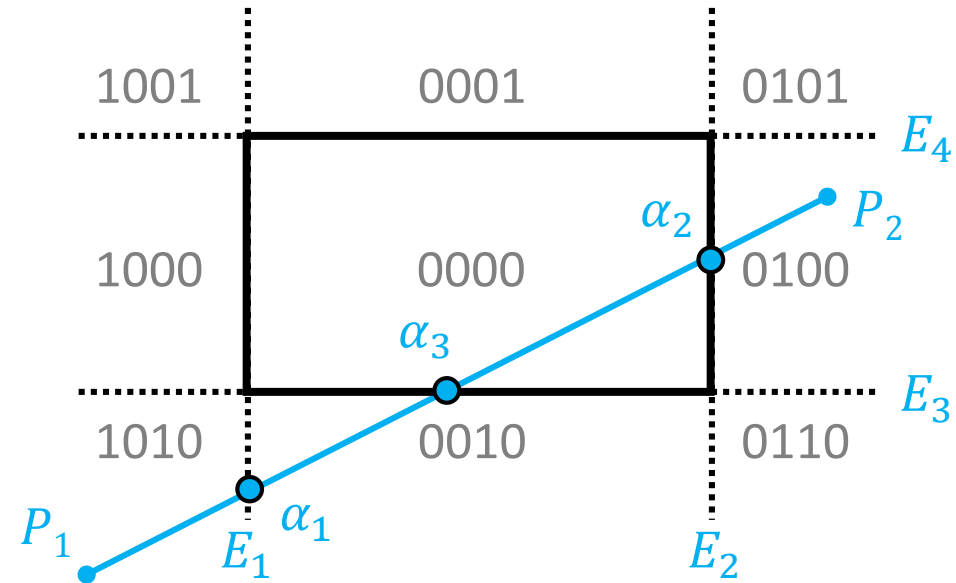


- ▶ Clipping:
  - ▶ Kante  $E_1 \rightarrow \alpha_{min} = \alpha_1$
  - ▶ Kante  $E_4 \rightarrow \alpha_{max} = \alpha_4$
  - ▶  $\alpha_{max} < \alpha_{min} \Rightarrow$  Linie außerhalb

# $\alpha$ -Clipping

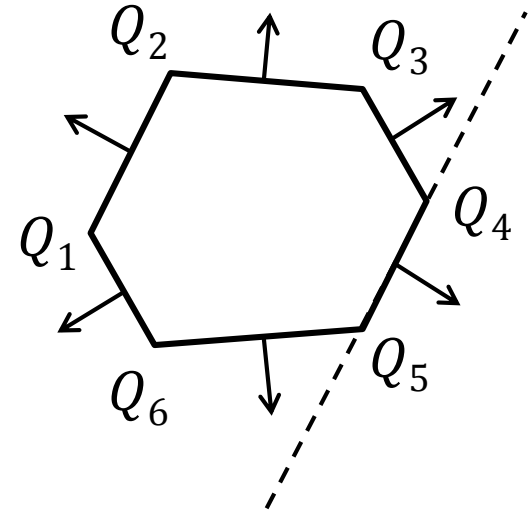
## Beispiel 2

- ▶ Kante  $E_1 \rightarrow \alpha_{min} = \alpha_1$
- ▶ Kante  $E_2 \rightarrow \alpha_{max} = \alpha_2$
- ▶ Kante  $E_3 \rightarrow \alpha_{min} = \alpha_3$
- ▶ gebe Liniensegment zurück,  
denn  $\alpha_{min} < \alpha_{max}$



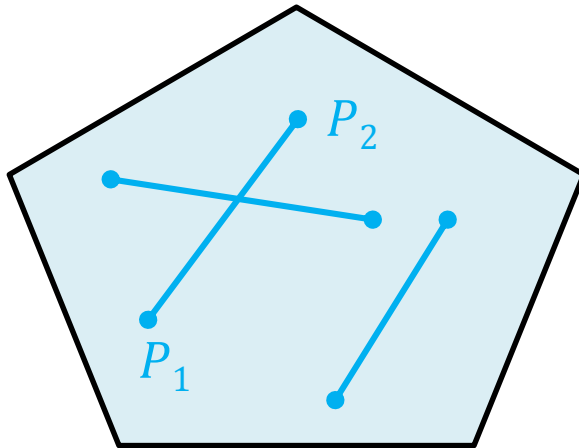
# $\alpha$ - Clipping - Konvexe Clipping Regionen

- ▶ Für ein Polygon  $Q_1, \dots, Q_n$  ergibt sich
  - ▶  $n$  Kanten  $\rightarrow n$  WECs
  - ▶  $WEC_i(P)$ : gerichteter Abstand von  $P$  zur Linie  $Q_i Q_{i+1}$
  
- ▶ Clipping in 3D
  - ▶ analog, WEC sind die Abstände zu Clipping-Ebenen

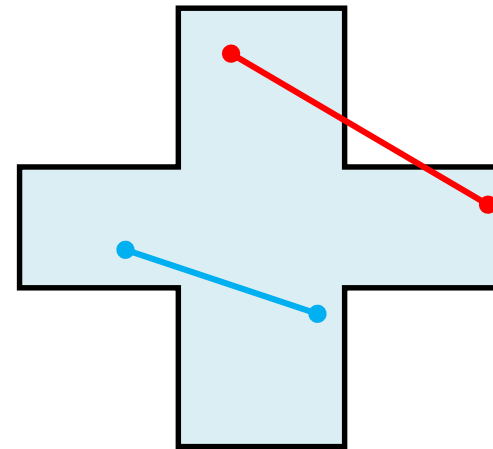


## ► Definition

- eine Menge von Punkten  $M \subseteq \mathbb{R}^2$  ist konvex, wenn für alle  $P_1, P_2 \in M$  alle Punkte auf der Linie  $\overline{P_1 P_2}$  ebenfalls in  $M$  liegen



konvex

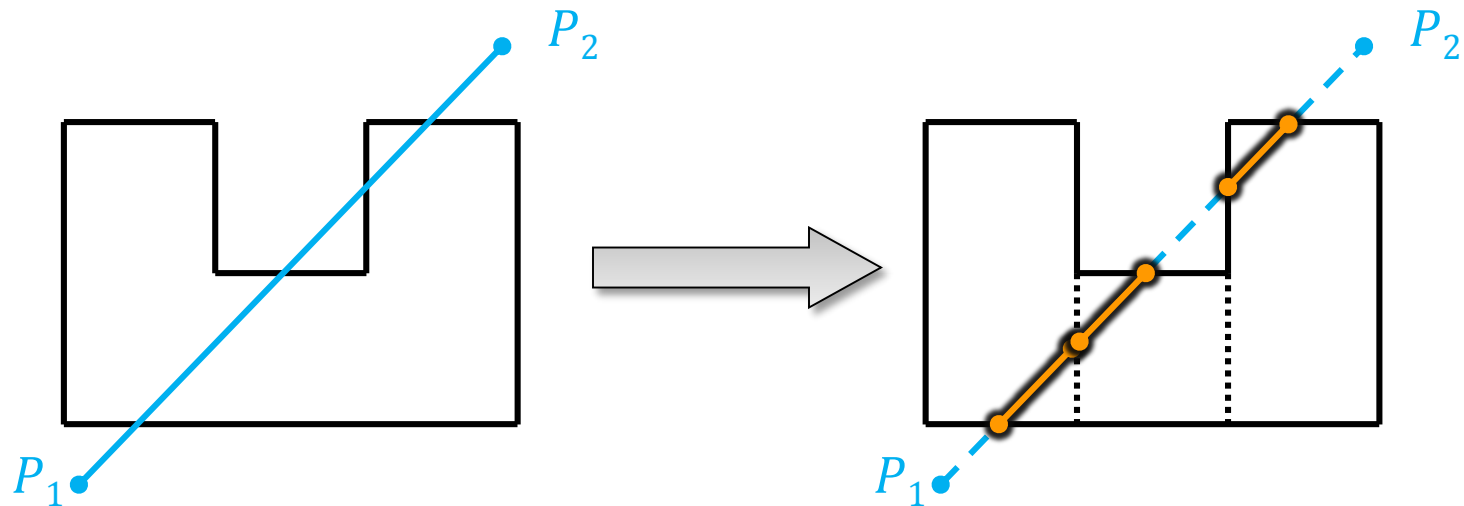


nichtkonvex

- Achtung: nichtkonvex  $\neq$  konkav

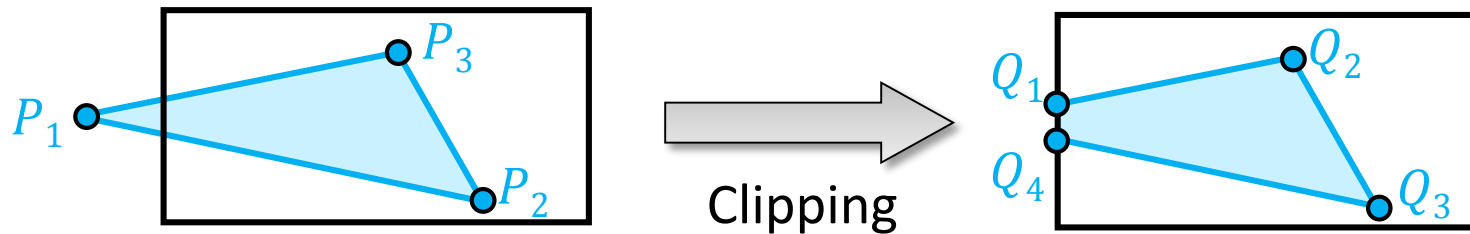
# Nichtkonvexe Clipping Regionen

- ▶ unterteile in konvexe Teilregionen
- ▶ anschließend Clipping gegen jede Teilregion...
- ▶ ...und zusammensetzen der Liniensegmente



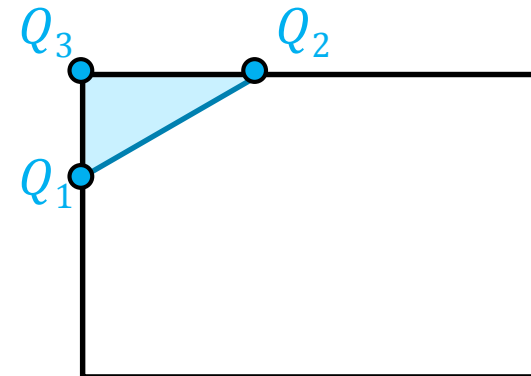
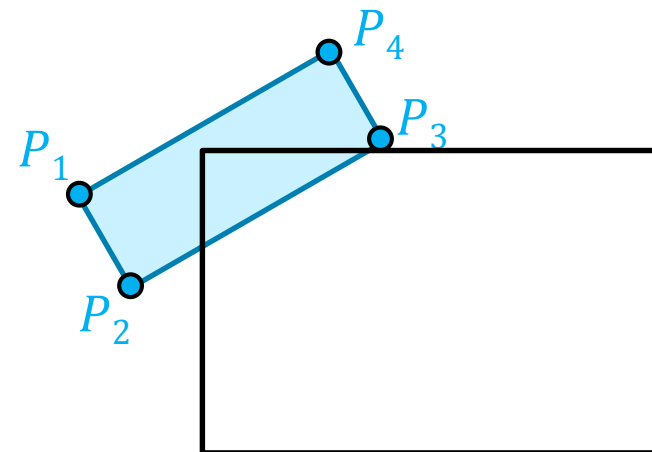
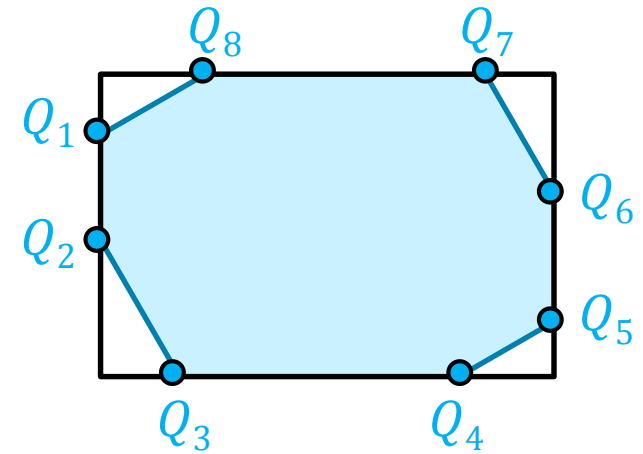
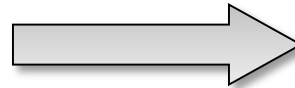
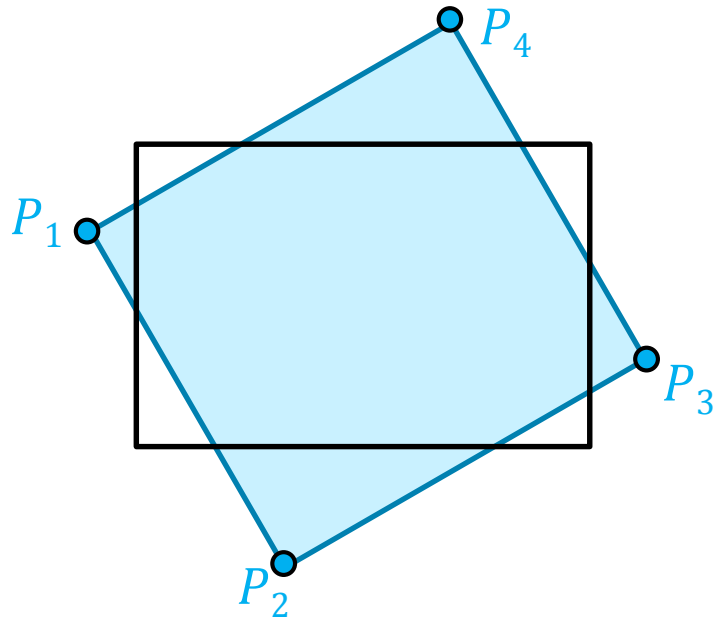
# Clipping von Polygonen

- ▶ Polygon: Geordnete Liste von Punkten



# Clipping von Polygonen

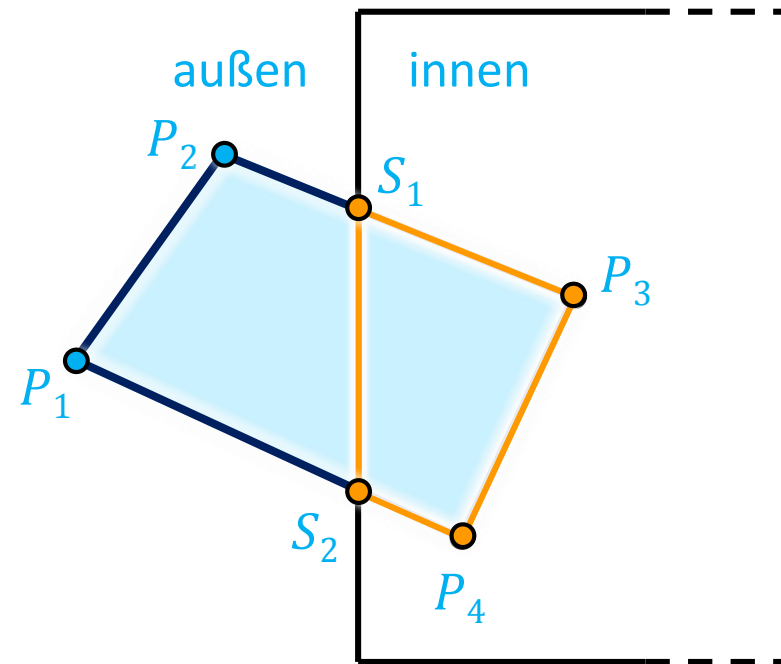
- ▶ wir brauchen mehr als nur die Liniensegmente, die durch Clipping der Polygonkanten entstehen → Algorithmus von Sutherland-Hodgeman (1974)



# Sutherland-Hodgeman Polygon Clipping

## Algorithmus für (konvexe) Regionen in 2D

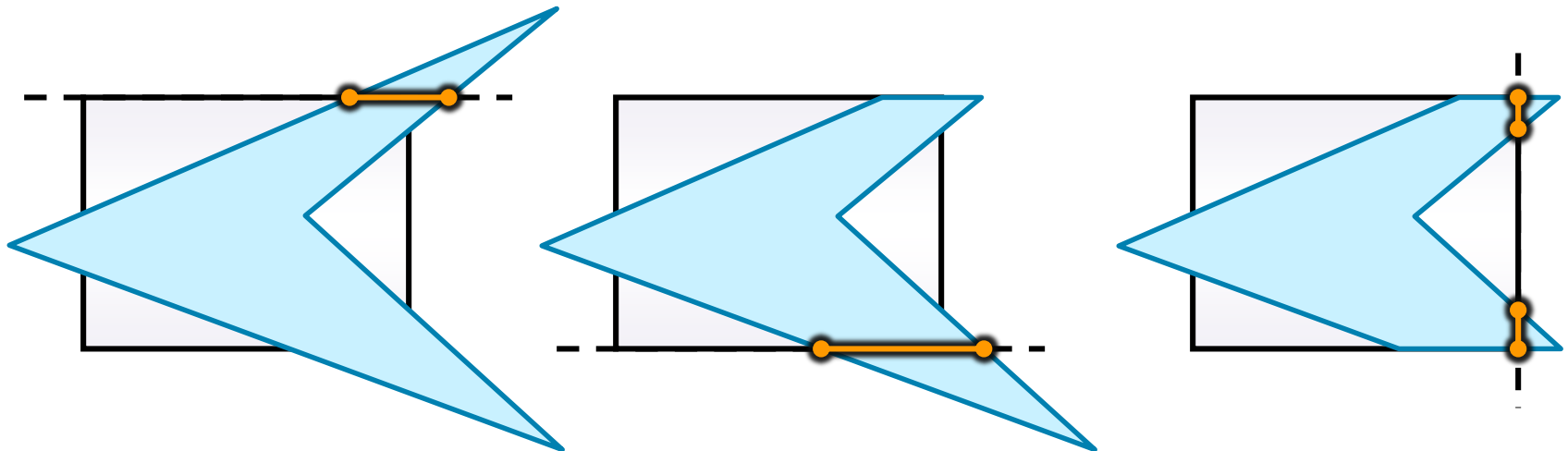
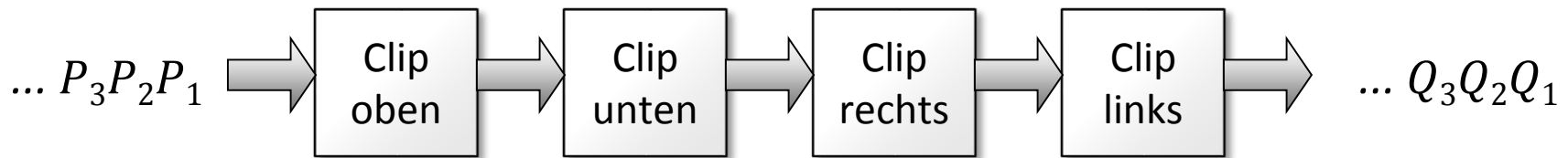
- ▶ Clipping gegen eine Kante des Clipping-Polygons nach der anderen
- ▶ für jede Kante
  - ▶ Eingabe: Liste der Vertizes des Polygons
  - ▶ Ausgabe: Liste der Vertizes des resultierenden Polygons
- ▶ Beispiel:
  - ▶ Eingabe:  $P_1, P_2, P_3, P_4$
  - ▶ Ausgabe:  $S_1, P_3, P_4, S_2$



# Sutherland-Hodgeman Polygon Clipping

## Algorithmus für (konvexe) Viewports in 2D

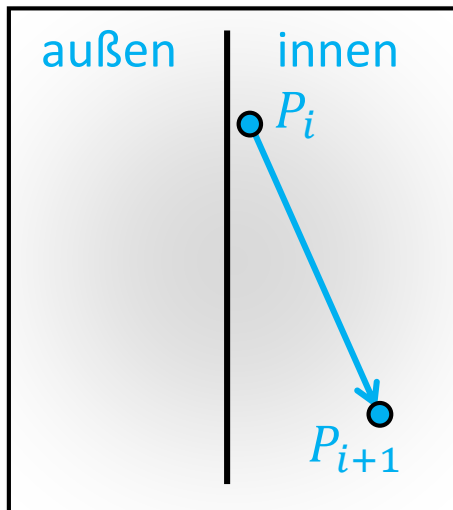
- ▶ Clipping gegen eine Kante des Clipping-Polygons nach der anderen
  - ▶ nach jeder Kante erhält man ein geschlossenes Polygon
  - ▶ erlaubt Pipelining (wichtig für Hardware-Umsetzungen)



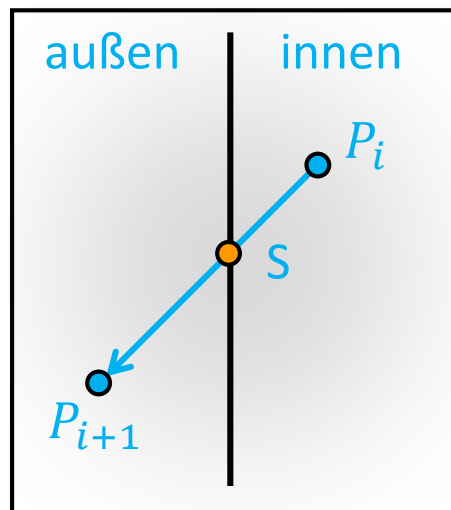
# Sutherland-Hodgeman Polygon Clipping

## Clipping gegen eine Kante

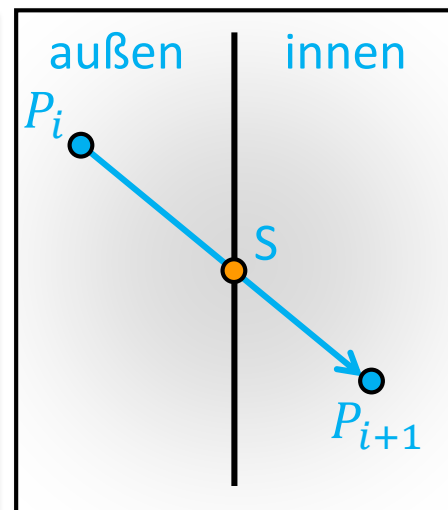
- ▶ geg. Liste von Eingabe-Vertizes  $P_i, i = 1, \dots, n$
- ▶ betrachte ein Segment  $P_i P_{i+1}$  nach der anderen
- ▶ klassifiziere  $P_i$  bzw.  $P_{i+1}$  als innen/außen → 4 Fälle sind zu unterscheiden



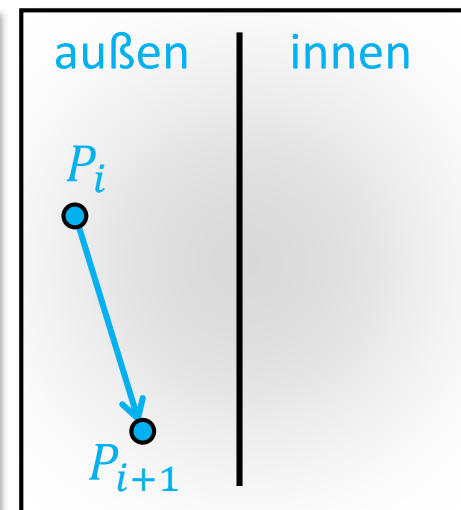
innen → innen:  
füge  $P_{i+1}$  zur  
Ausgabe hinzu



innen → außen:  
berechne  
Schnittpunkt  $S$ ,  
gebe  $S$  aus



außen → innen:  
berechne  
Schnittpunkt  $S$ ,  
gebe  $S$  und  $P_{i+1}$  aus

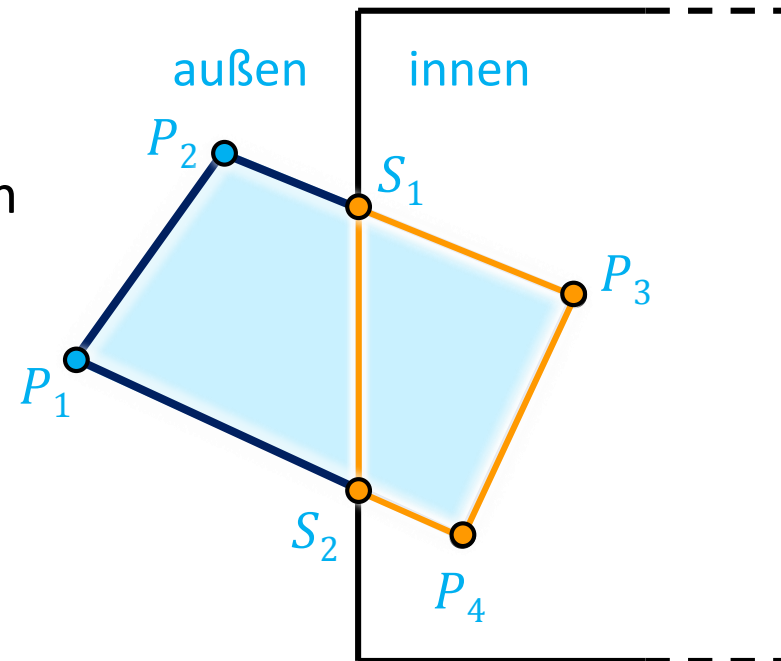


außen → außen:  
weiter mit  
nächstem Segment

# Sutherland-Hodgeman Polygon Clipping

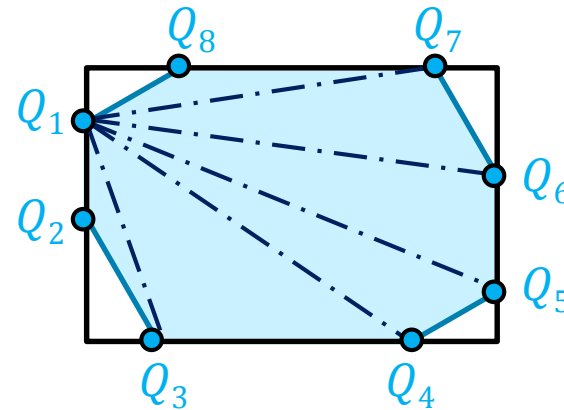
## Beispiel

- ▶ Eingabe:  $P_1, P_2, P_3, P_4$
- ▶ getestete Segmente:  $P_1P_2, P_2P_3, P_3P_4, P_4P_1$
- ▶ Ausgabe:
  - ▶  $P_1P_2 \rightarrow$  nichts
  - ▶  $P_2P_3 \rightarrow S_1$  und  $P_3$
  - ▶  $P_3P_4 \rightarrow P_4$
  - ▶  $P_4P_1 \rightarrow S_2$
  - ▶ Segment  $S_2S_1$  schließt das Polygon



## Clipping mit Attributen

- ▶ Vertex-Attribute (z.B. Texturkoordinaten oder Farben) werden mit und für die Schnittpunkte berechnet
- ▶ ist das Eingabepolygon konvex, dann auch das Ausgabepolygon
  - ▶ kann bei Bedarf einfach in Dreiecke zerlegt werden:  
 $Q_1, Q_i, Q_{i+1}$  mit  $1 < i < n$



## Clipping in 3D

- ▶ Clipping gegen ein konvexes Sichtvolumen
  - ▶ statt Clipping gegen Kanten: Clipping gegen Ebenen
  - ▶  $\alpha$ -Clipping in homogenen Koordinaten

# Computergrafik

Computergrafik

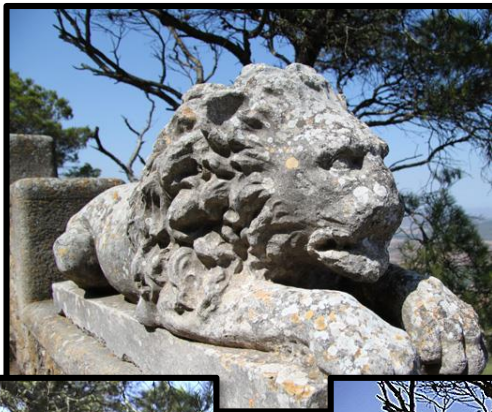
## Übung: Bildoperationen - Farben & Filter

Prof. Dr.-Ing. Carsten Dachsbacher  
Lehrstuhl für Computergrafik  
Karlsruher Institut für Technologie



## Wir betrachten folgende Arten von Manipulationen

- ▶ Operationen im *Farbraum* („pro Pixel“)
- ▶ Operationen im *Farb- und Bildraum*
  - ▶ *lineare Filter*: gewichtete Summe benachbarter Pixel-Werte
  - ▶ *morphologische Filter*: strukturverändernde Operationen



Helligkeit (Farbraum)



Scharfzeichnung (linearer Filter)



Entfernen kleiner Strukturen  
(morphologischer Filter)

## Bildoperationen im Farbraum

- ▶ Änderung der Farbe eines Pixels basierend nur auf dem aktuellen Farbwert an dieser Stelle

- ▶ Helligkeit  $g(r, g, b) = 2(r, g, b)$



- ▶ Luminanz  $y(r, g, b) = 0.3r + 0.59g + 0.11b$



# Beispiel: Änderung des Kontrasts

- ▶ Kontraständerung:  $g(x) = c(x - 0.5) + 0.5$ ,  $x = (r, g, b)$



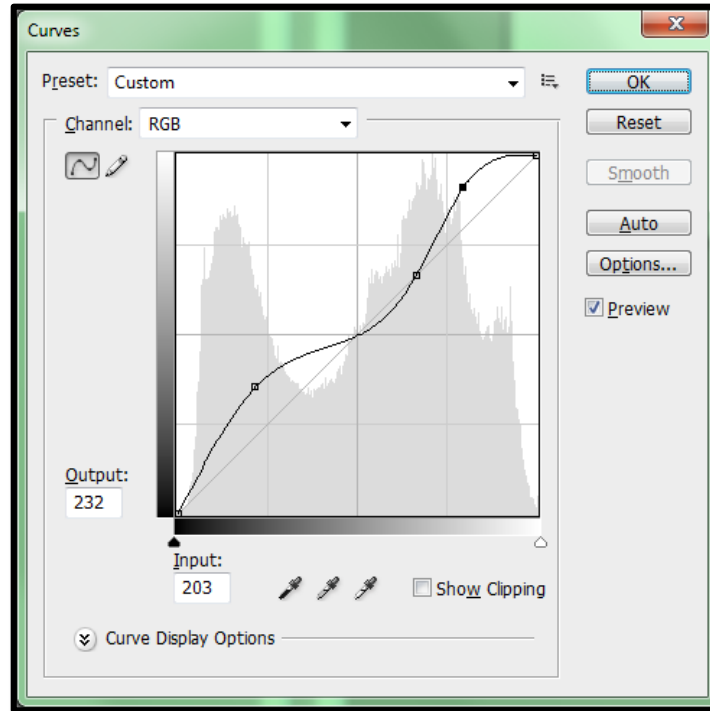
$c < 1$



$c > 1$

# Gradationskurven, Farbkurven

- ▶ visuelle/interaktive Manipulation der Funktion  $g$
- ▶ präzise Kontrolle



# Operationen im Farb- *und* Bildraum



- ▶ die neue Farbe eines Pixels hängt ab von
  - ▶ seiner aktuellen Farbe
  - ▶ den Farbwerten der Pixelnachbarschaft
  
- ▶ Viele dieser Bildoperationen (sog. Filter) lassen sich durch eine **Faltung** ausdrücken
  - ▶ Bsp. Unschärfe, Schärfe, Kantendetektion, Embossing, ...

# Faltung – lineare Filter



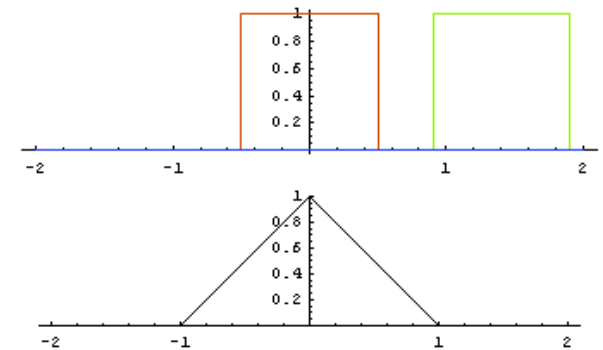
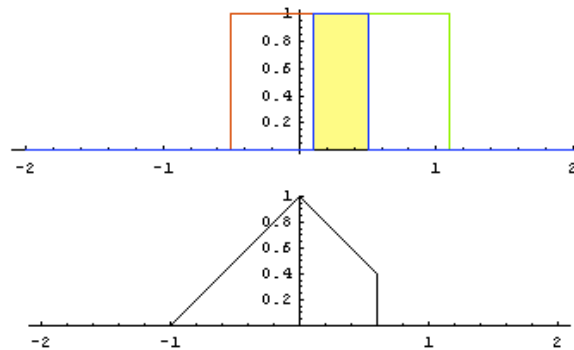
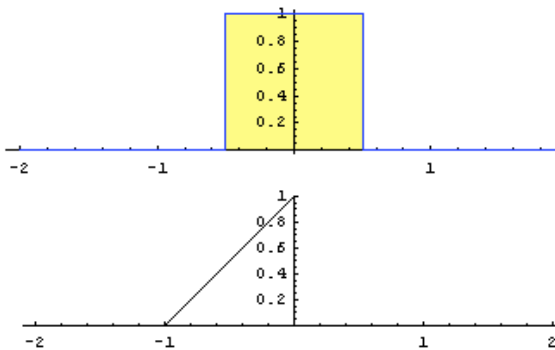
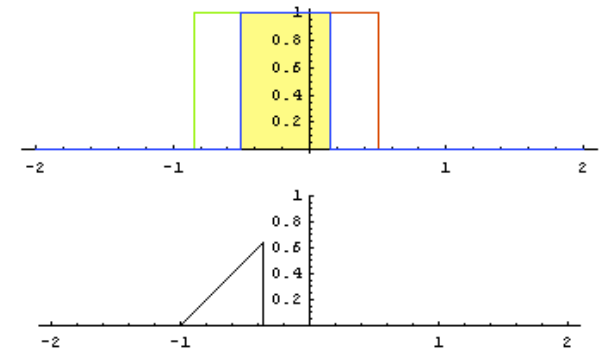
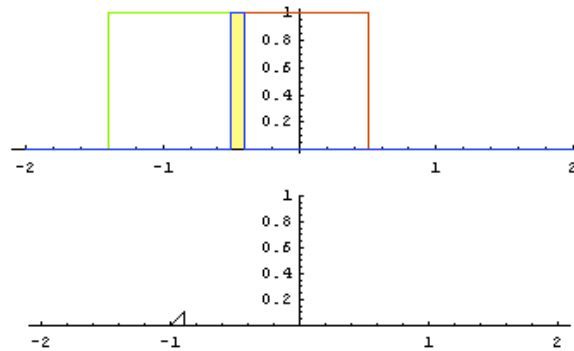
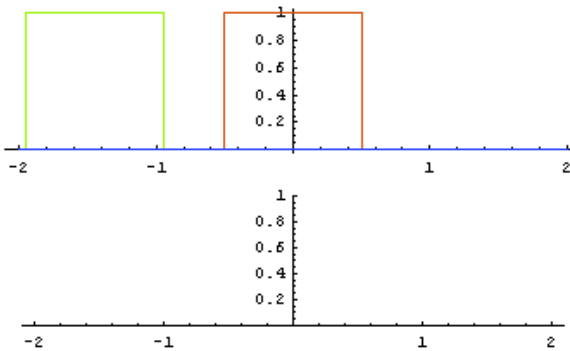
- ▶ das Bild ist eine Funktion  $f$ , die Positionen eine Farbe zuordnet
- ▶ eine Faltung berechnet die „Überlappung“ einer Funktion  $f$  mit einer zweiten Funktion  $g$ , die gespiegelt über  $f$  geschoben wird

$$[f * g](t) = \int_{-\infty}^{\infty} f(\tau)g(t - \tau)d\tau$$

- ▶  $g$  nennt man Filterfunktion
- ▶ die Faltung zweier Funktionen ist wieder eine Funktion

# Faltung

- ▶ Faltung zweier Rechteckfunktionen  $f$  und  $g$
- ▶ das Resultat der Faltung ist eine Dreiecksfunktion (Flächeninhalt des Produkts von  $f$  und  $g$  für jede Verschiebung)



- ▶ wenn  $f$  und  $g$  diskret sind (z.B. die Funktionen nur an ganzzahligen Stellen definiert), dann ist die diskrete Faltung

$$[f * g](n) = \sum_{i=-\infty}^{\infty} f(i)g(n - i)$$

- ▶ Prinzip

- ▶ die Filterfunktion („Kernel“)  $g$  wird mittig um den  $n$ -ten Pixel ausgerichtet
- ▶ Gewichtung jedes Pixels des Bildes gemäß des Werts von  $g$  an dieser Stelle
- ▶ Aufsummieren der gewichteten Farbwerte ergibt die neue Farbe des  $n$ -ten Pixels

- ▶ kontinuierlich

$$[f * g](s, t) = \int_{-\infty}^{\infty} \int_{-\infty}^{\infty} f(\sigma, \tau) g(s - \sigma, t - \tau) d\sigma d\tau$$

- ▶ diskret

$$[f * g](m, n) = \sum_{i=-\infty}^{\infty} \sum_{j=-\infty}^{\infty} f(i, j) g(m - i, n - j)$$

- ▶ oft sind Filter  $g(\cdot, \cdot)$  nur in einem (kleinen) Intervall ungleich 0

$$[f * g](m, n) = \sum_{i=m-a}^{m+a} \sum_{j=n-b}^{n+b} f(i, j) g(m - i, n - j)$$

- ▶ mit  $-a \leq m - i \leq a$  und  $-b \leq n - j \leq b$

# Bsp. diskrete Faltung in 2D



```
// Falte das Bild "img" mit der Filterfunktion g.
// Der Filterkernel hat die Größe [2a+1, 2b+1]
for (int n = 0; n < img.height; n++) {
    for (int m = 0; m < img.width; m++) {

        float res = 0.0f;
        for (int j = n-b; j <= n+b; j++) {
            for (int i = m-a; i <= m+a; i++) {
                // Achtung: Auf Bereichsüberschreitung achten!
                res += img(i, j) * g(m-i, n-j);
            }
        }

        img(m, n) = res;
    }
}
```

# Bsp. diskrete Faltung in 2D

- ▶ Annahme: alle Werte außerhalb des Definitionsbereichs von  $f$  sind 0
  - ▶ man kann aber auch definieren, dass das Bild wiederholt wird, oder
  - ▶ man auf den jeweils nächsten Pixelwert zugreift
- ▶ der hier verwendeten Kernelmatrix sieht man nicht an, dass sie gespiegelt ist

$$[f * g](m, n) = \sum_{i=m-a}^{m+a} \sum_{j=n-b}^{n+b} f(i, j)g(m - i, n - j)$$

2	3	1
0	5	1
1	0	8

\*

0	-1	0
-1	5	-1
0	-1	0

=

7	7	1
-8	21	-9
5	-14	39

# Bsp. diskrete Faltung in 2D

	0	-1	0		
-1	2	5	3	1	
0	0	-1	5	0	1
	1	0		8	

7	?	?
?	?	?
?	?	?

# Bsp. diskrete Faltung in 2D

2	3	1
0	-1	0
0	5	1
-1	5	-1
1	0	8
0	-1	0

7	7	1
-8	21	?
?	?	?



# Filter: Unschärfe (Blur)

- ▶ normalisierter Kernel: die Einträge summieren sich zu 1
- ▶ die Gesamthelligkeit des Bildes bleibt erhalten



$$\begin{matrix} * & \begin{matrix} \begin{matrix} 1 & 1 & 1 \\ 1 & 1 & 1 \\ 1 & 1 & 1 \end{matrix} \\ \cdot 1/9 \end{matrix} \end{matrix}$$



# Filter: Schärfe (sharpen)



\*

0	-1	0
-1	5	-1
0	-1	0



# Filter: Kantendetektion



\*

0	-1	0
-1	4	-1
0	-1	0



# Filter: Emboss (Prägen/Stanzen)



\*

-1	-1	0
-1	1	1
0	1	1



- ▶ strukturverändernde Operation (ein nicht-linearer Filter)
  - ▶ betrachte Menge der Nachbarpixel  $A$  (typ. in einem Binärbild)
  - ▶ Strukturelement  $B$
  - ▶ Operation: setze oder lösche Pixel

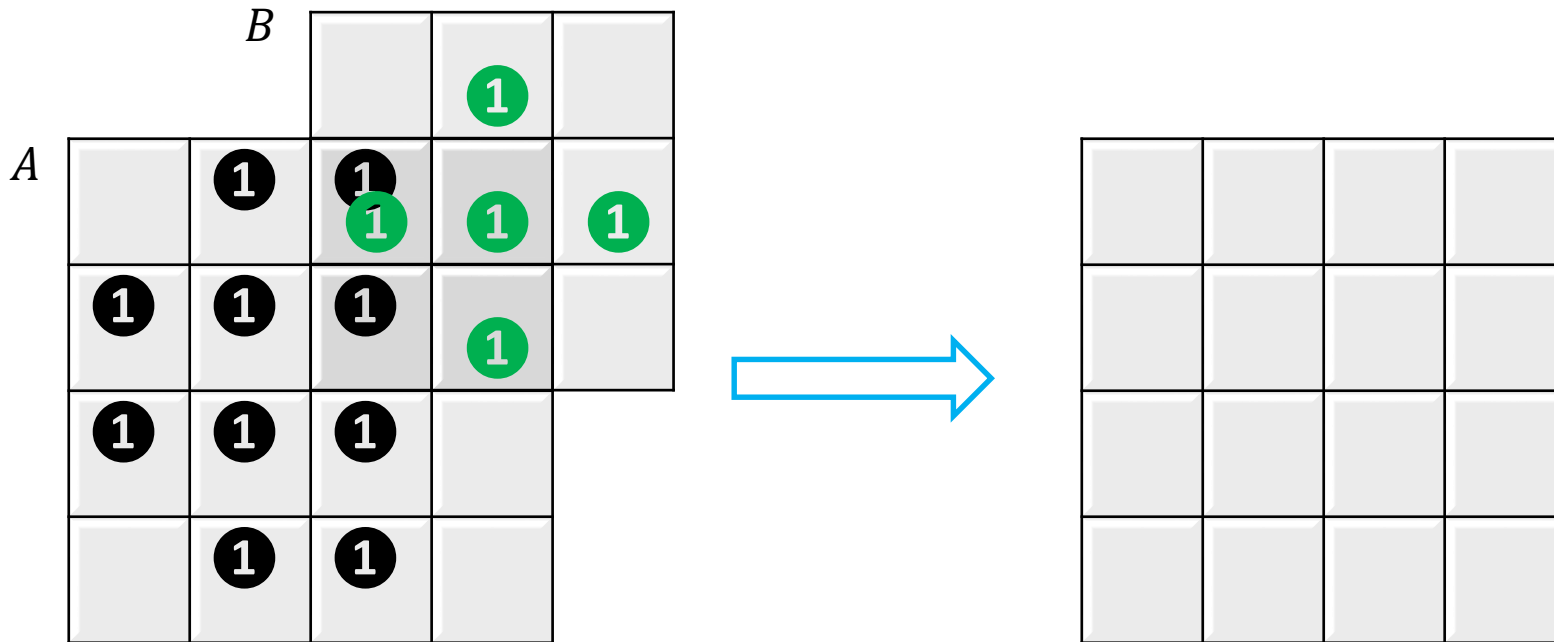
0	1	0
1	1	1
0	1	0

$B$

- ▶ **Dilatation** (Erweiterung)
  - ▶ Menge aller Pixel  $z$ , bei denen eine „1“ im Strukturelement mit mind. einer „1“ in  $A$  überlappt
- ▶ **Erosion** (Abtragung)
  - ▶ Menge aller Pixel  $z$ , bei denen alle „1“ im Strukturelement mit einer „1“ in  $A$  überlappen

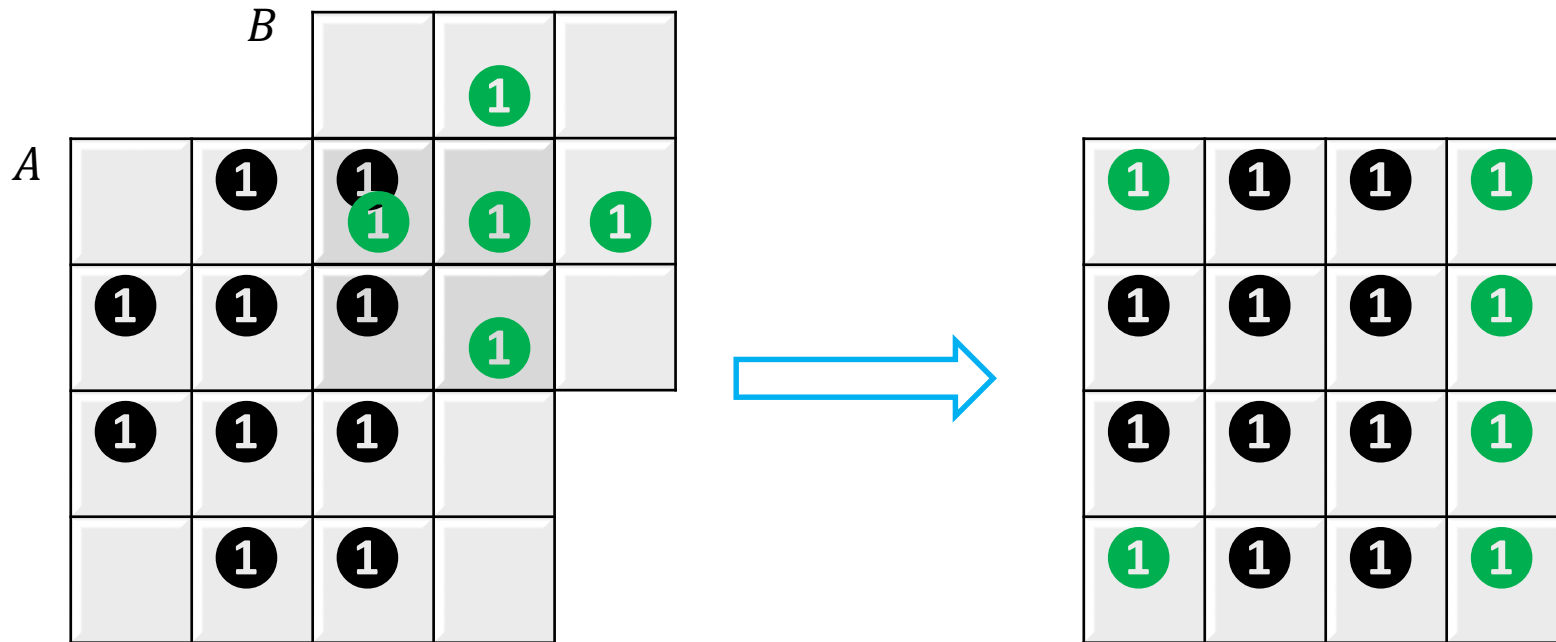
# Dilatation

- ▶ Menge aller Pixel  $z$ , bei denen eine „1“ im Strukturelement mit mind. einer „1“ in  $A$  überlappt
- ▶ Frage: Welche Pixel sind nach der Dilatation „1“?



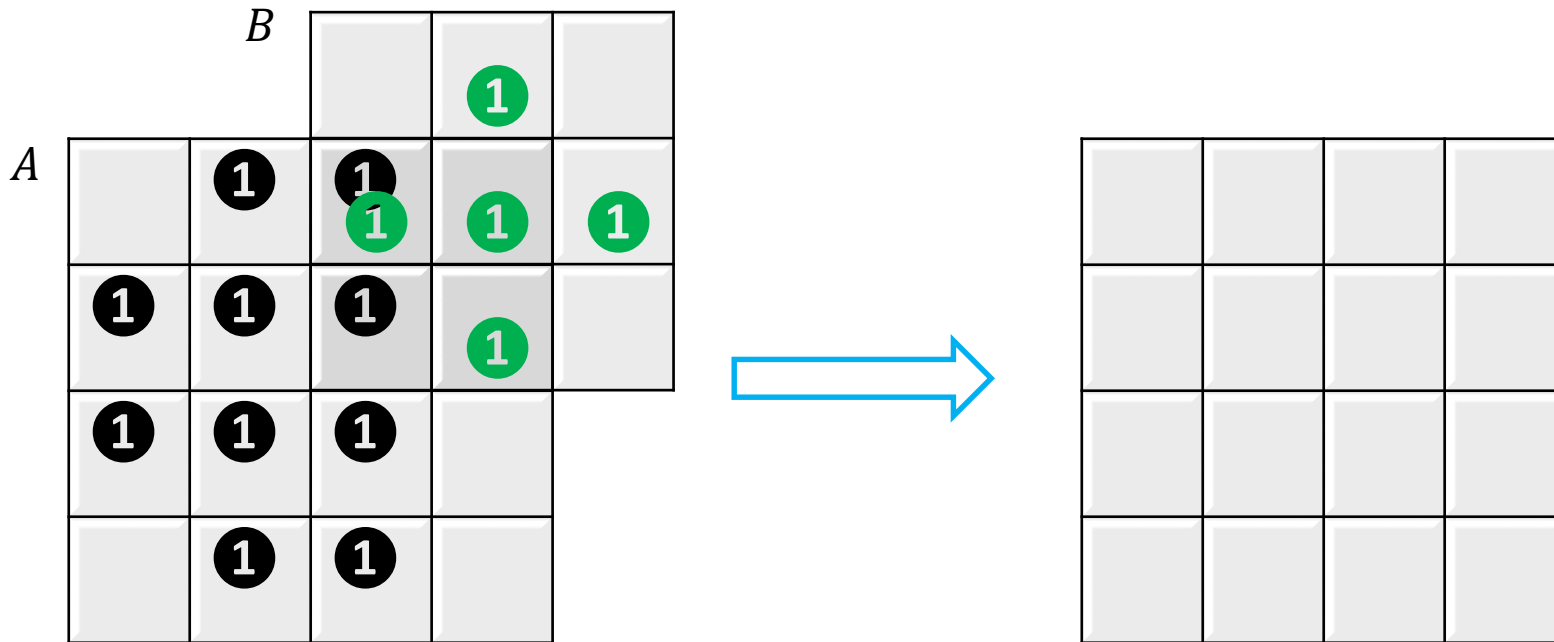
# Dilatation

► Ergebnis:



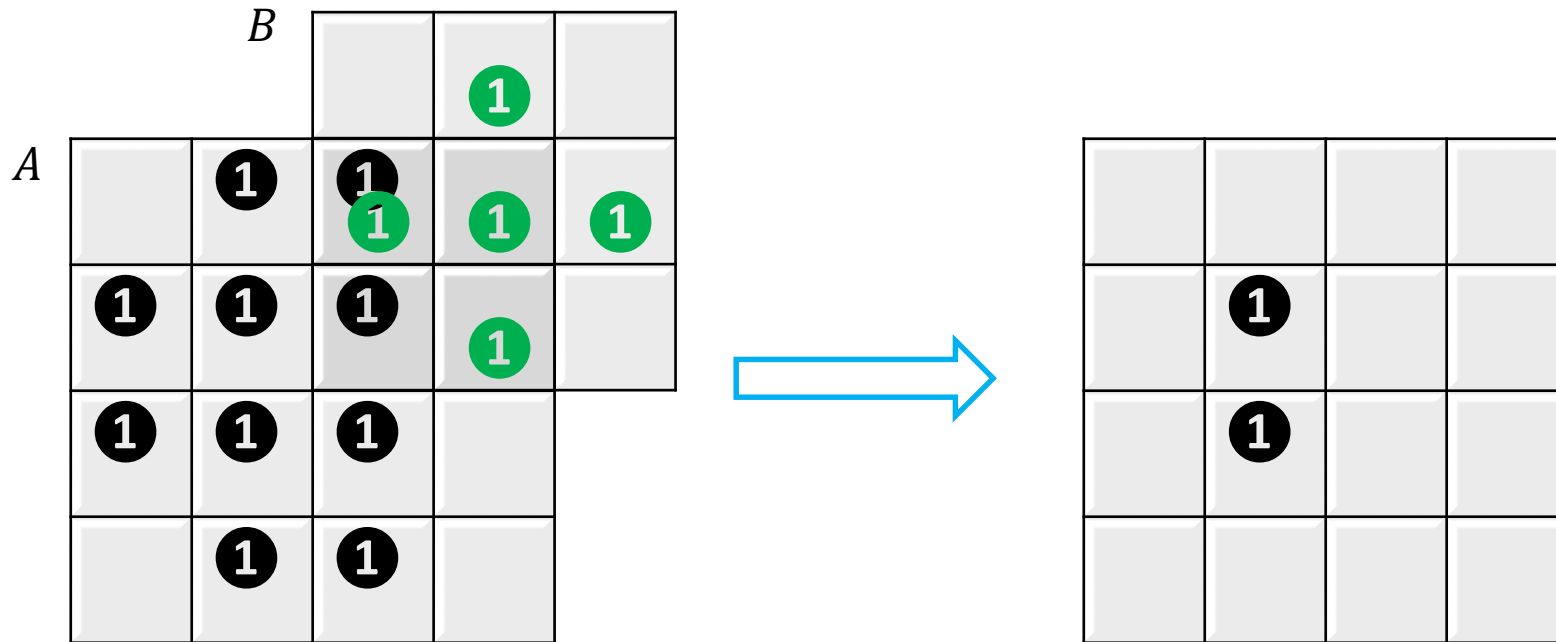
# Erosion

- ▶ Menge aller Pixel  $z$ , bei denen alle „1“ im Strukturelement mit einer „1“ in  $A$  überlappen
- ▶ Frage: Welche Pixel sind nach der Erosion „1“?



# Erosion

► Ergebnis:

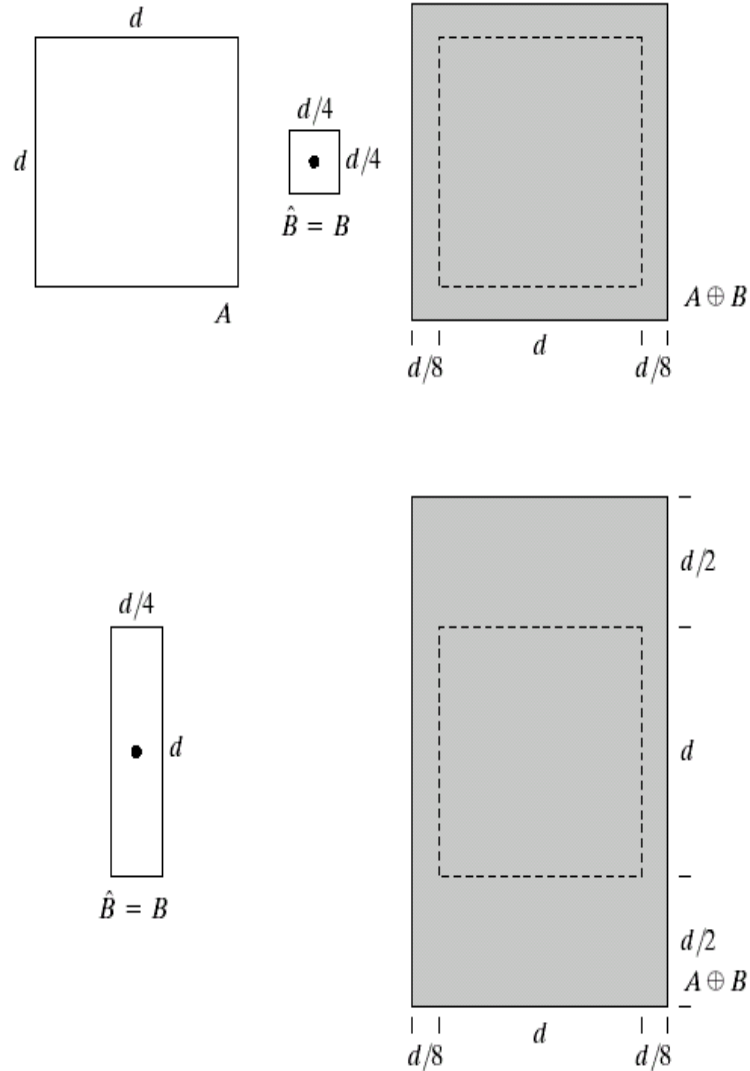


# Dilatation (Erweiterung)

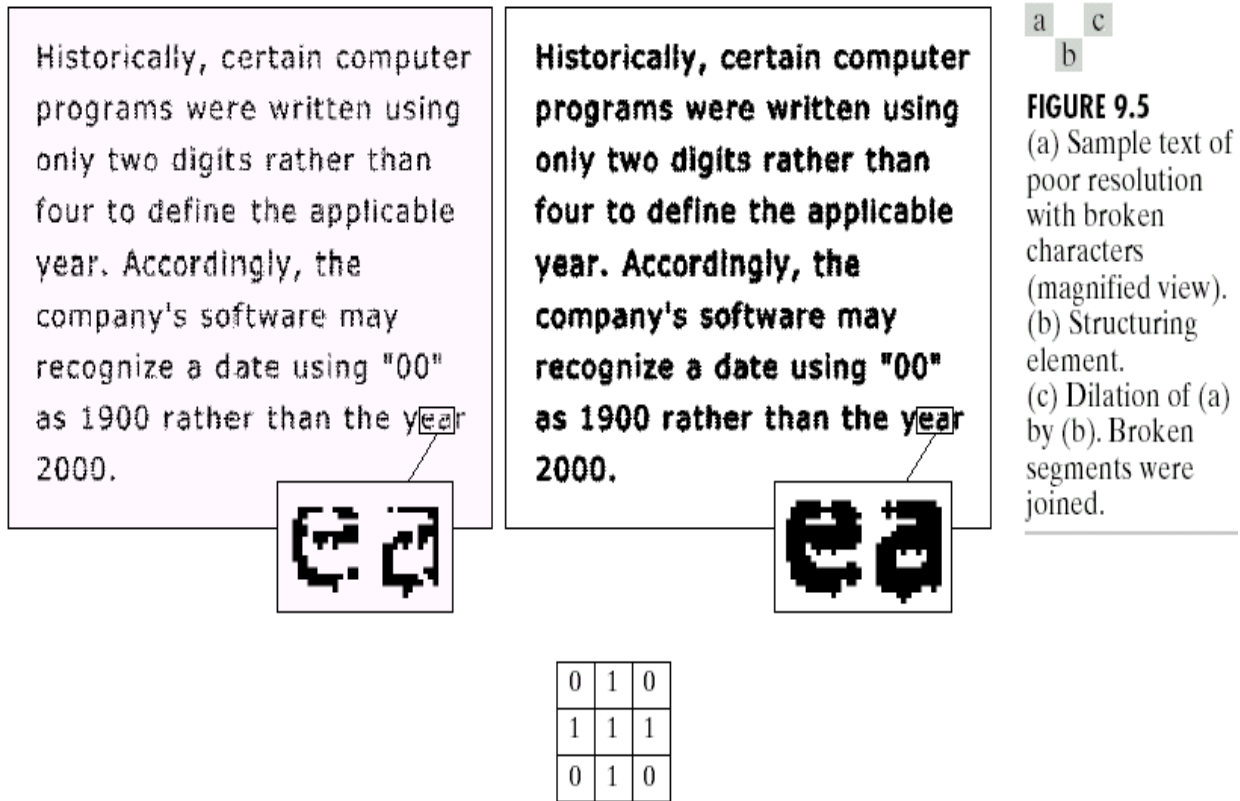
a	b	c
d	e	

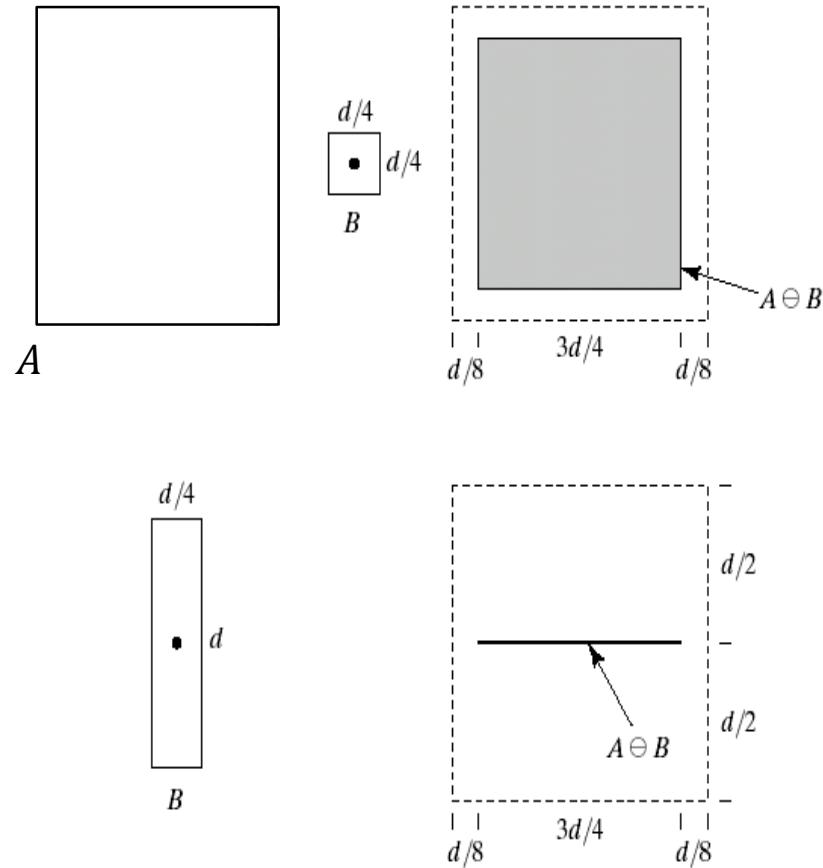
**FIGURE 9.4**

- (a) Set  $A$ .
- (b) Square structuring element (dot is the center).
- (c) Dilation of  $A$  by  $B$ , shown shaded.
- (d) Elongated structuring element.
- (e) Dilation of  $A$  using this element.



# Dilatation (Erweiterung)





a	b	c
d	e	

**FIGURE 9.6** (a) Set  $A$ . (b) Square structuring element. (c) Erosion of  $A$  by  $B$ , shown shaded. (d) Elongated structuring element. (e) Erosion of  $A$  using this element.



Erosion



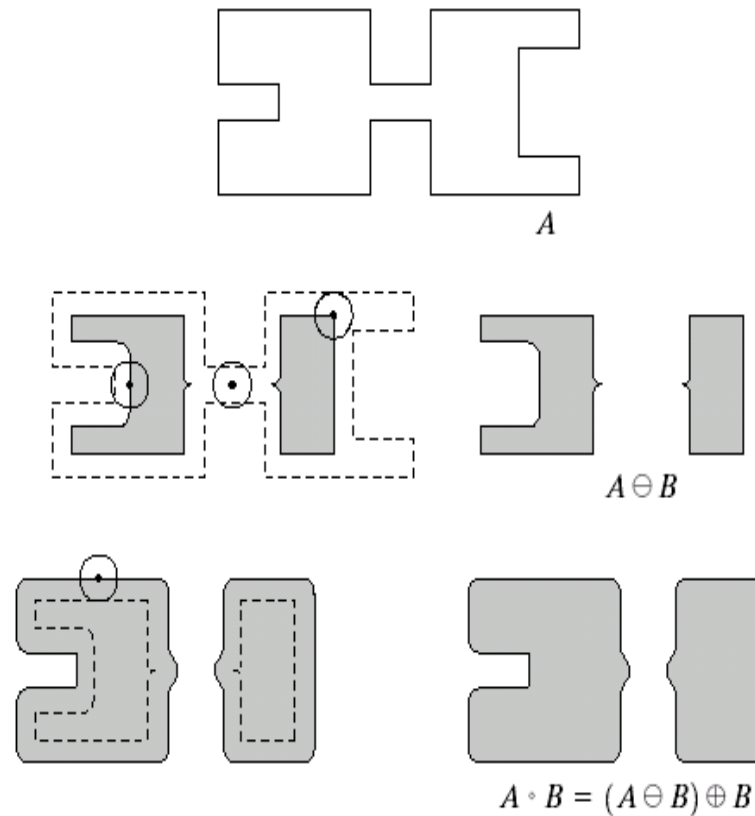
Erosion

# Öffnen und Schließen

- ▶ **Öffnen**: glättet die Kontur, entfernt Überstände und Brücken

$$A \odot B = (A \ominus B) \oplus B$$

- ▶ Erosion, gefolgt von Dilatation:

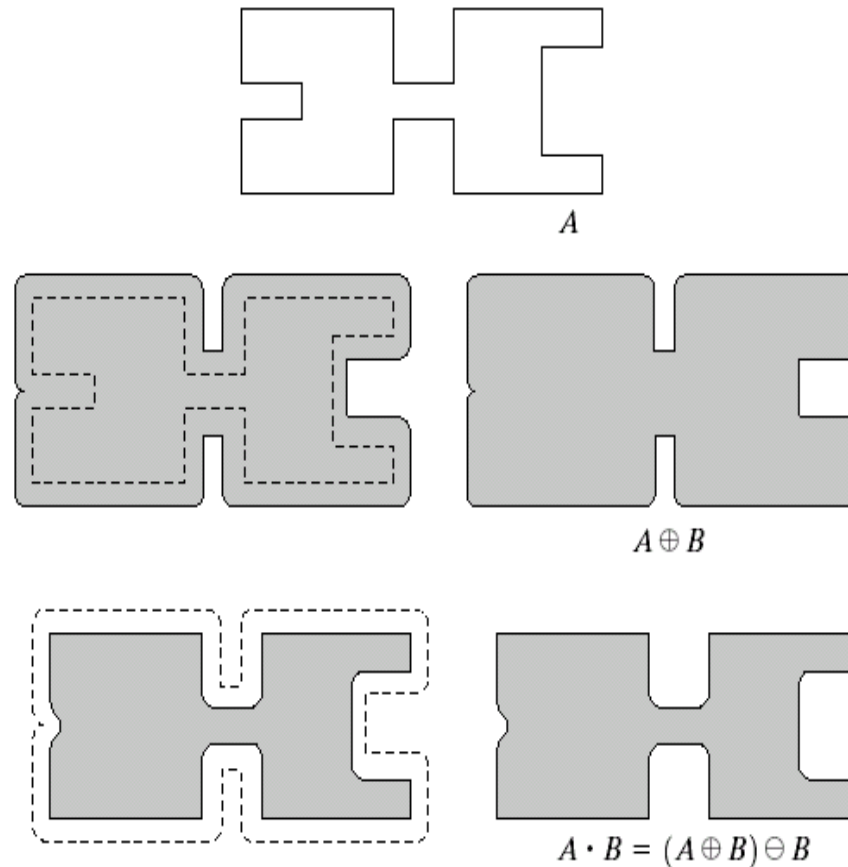


# Öffnen und Schließen

- ▶ **Schließen**: glättet Teile der Kontur, schließt kleinere Lücken

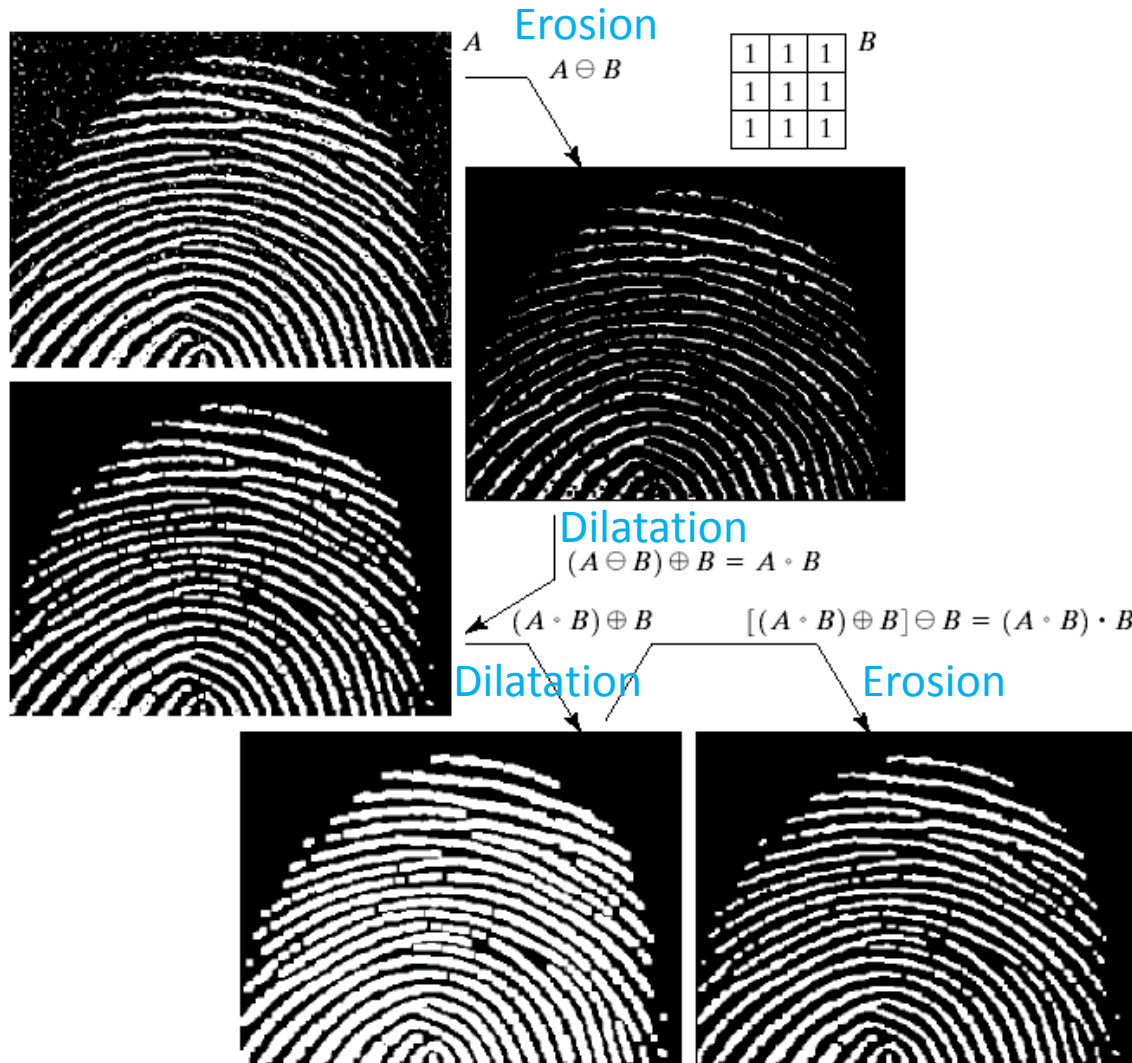
$$A \odot B = (A \oplus B) \ominus B$$

- ▶ Dilatation, gefolgt von Erosion



# Öffnen und Schließen

- ▶ erst Öffnen (Erosion und Dilatation), dann Schließen (Dilatation und Erosion)



a	b
d	c
e	f

**FIGURE 9.11**

(a) Noisy image.  
 (c) Eroded image.  
 (d) Opening of  $A$ .  
 (d) Dilatation of the opening.  
 (e) Closing of the opening. (Original image for this example courtesy of the National Institute of Standards and Technology.)

► Erosion, gefolgt von einer Subtraktion

$$\beta(A) = A - (A \ominus B)$$

a	b
c	d

**FIGURE 9.13** (a) Set  $A$ . (b) Structuring element  $B$ . (c)  $A$  eroded by  $B$ . (d) Boundary, given by the set difference between  $A$  and its erosion.

